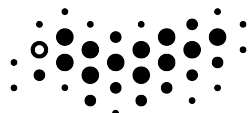


Федеральное государственное автономное
образовательное учреждение высшего образования
"Национальный исследовательский университет ИТМО"



УНИВЕРСИТЕТ ИТМО

Дополнительные главы физики
Задание после лекции 13.02.2023
"Основы квантовой физики"

Выполнил:
Лопатенко Г. В., М32021

Преподаватель:
Музыченко Я. Б.

Февраль, 2023

Содержание

1	Основы квантовой теории	2
1.1	Построение графиков основных законов	2
1.2	Относительное количество энергии	6
2	Классика в квантах	7
3	Potassium FUN	8
3.1	Пояснение теоретических аспектов зависимости	8
3.2	Представление данных в формате точек на плоскости . . .	9
3.3	Поиск коэффициентов, линейная регрессия	9
3.4	Поиск работы выхода и постоянной Планка	10

1 Основы квантовой теории

Проанализировать формулы Рэлея-Джинса, Вина и Планка.

а) построить графики зависимости излучательной способности от длины волны (от 20 до 2000 нм, шаг 20 нм) для двух лампочек с температурами 2700 К и 3300 К;

б) определить для ламп относительное количество энергии, приходящейся на видимый спектр.

1.1 Построение графиков основных законов

В 1900 г. Рэлей и Джинс, исходя из термодинамической гипотезы о равномерном распределении энергии по степеням свободы, получили формулу для излучательной способности:

$$r_w = \frac{\omega^2}{4\pi^2 c^2} kT$$

В теории на лекции подробно разбиралось тождество:

$$r_\lambda = \frac{\omega}{\lambda} \cdot r_w$$

Тогда становится очевидной формула Рэлея-Джинса в длинах волн:

$$r_{\lambda \text{ Rayleigh}} = \frac{2\pi c}{\lambda^4} kT$$

Кстати, формула Планка является надстройкой над этим фактом и предельно сходится на бесконечности:

$$r_{\lambda \text{ Planck}} = \frac{2\pi h c^2}{\lambda^5} \cdot \left(\exp\left(\frac{hc}{\lambda kT}\right) - 1 \right)^{-1}$$

А господин Вин в 1896 г. предложил свою аппроксимацию со сдвигом, основываясь на распределении Больцмана:

$$r_w = \frac{h\omega^3}{8\pi^3 c^2} \cdot \exp\left(-\frac{h\omega}{2\pi kT}\right)$$

То есть, опять же переходя на длины волн:

$$r_{\lambda \text{ Wein}} = \frac{2\pi h c^2}{\lambda^5} \cdot \exp\left(-\frac{hc}{\lambda kT}\right)$$

```

1 import math
2 import matplotlib.pyplot as plt
3 import numpy as np
4
5 def eval_R_Planck(lambd, temperature):
6     return 2 * np.pi * h * c ** 2 / lambd ** 5 / (np.e ** (h *
7         c / (k * temperature * lambd)) - 1)
8
9 def eval_R_RayleighJeans(lambd, temperature):
10     return 2 * np.pi * c * k * temperature / lambd ** 4
11
12 def eval_R_Wien(lambd, temperature):
13     return 2 * np.pi * h * c ** 2 / lambd ** 5 / np.e ** (h *
14         c / (k * temperature * lambd))
15
16 def plot_scatter(ax, arguments, temperature, mode, color, f):
17     ax.scatter(x=arguments,
18         y=f(arguments, temperature),
19         label=f'{mode} approximation',
20         c=color,
21         s=10)
22
23 h, c, k = 6.626 * 10 ** -34, 299792458, 1.381 * 10 ** -23
24 T1, T2 = 2700, 3300
25 arguments = np.linspace(20 * 10 ** -9, 2500 * 10 ** -9, 300)
26 fig, ax = plt.subplots(1, 1, figsize=(12, 8))
27 plot_scatter(ax, arguments, T1,
28     "Planck, 2700 K", "red",
29     eval_R_Planck)
30 plot_scatter(ax, arguments[250:], T1,
31     "RayleighJeans, 2700 K", "blue",
32     eval_R_RayleighJeans)
33 plot_scatter(ax, arguments, T1,
34     "Wein, 2700 K", "green",
35     eval_R_Wien)
36 ax.legend()
37 ax.grid(axis='both')
38 fig.tight_layout()

```

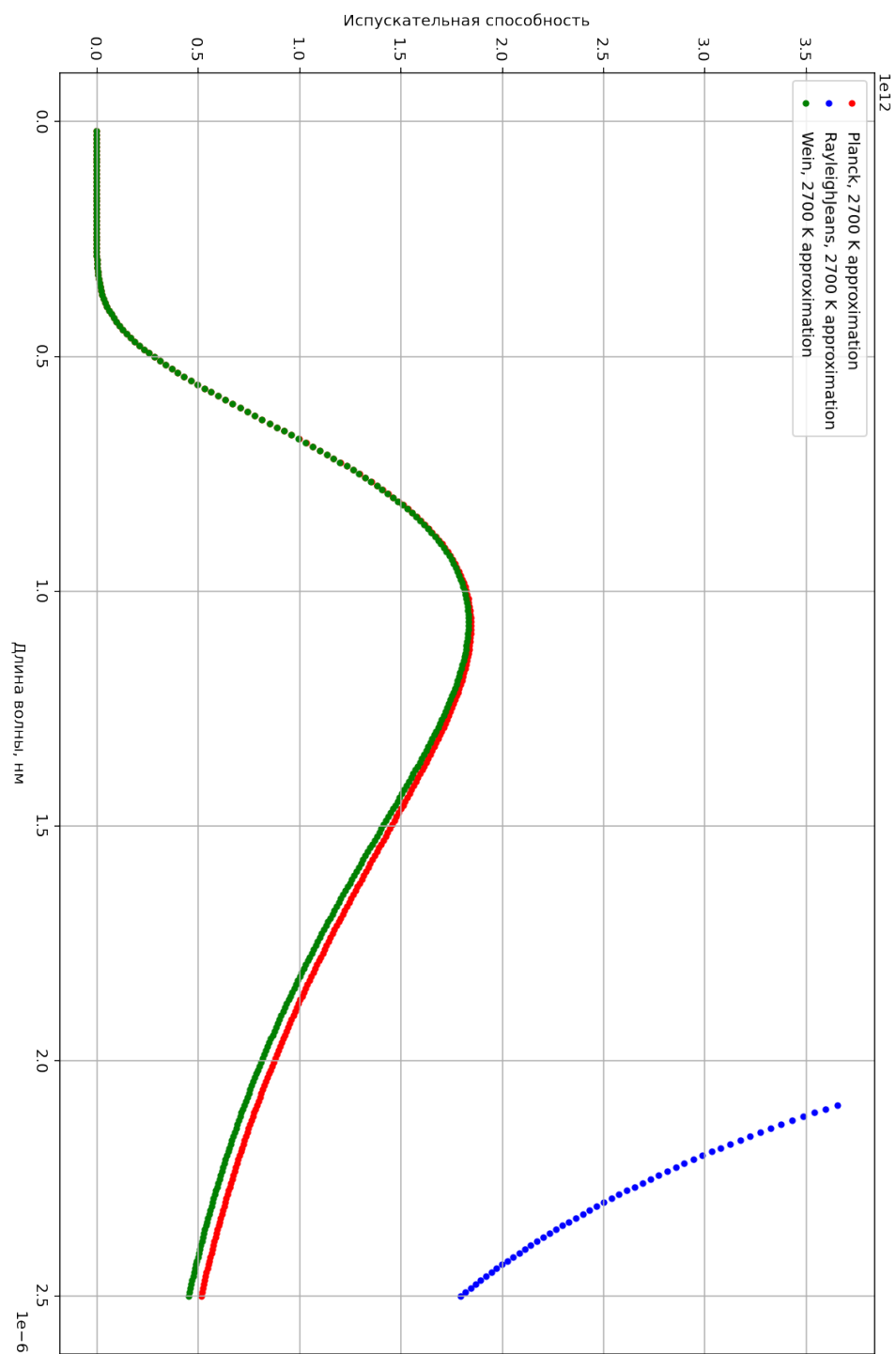


Рис. 1: Графики r_λ при температуре 2700 К

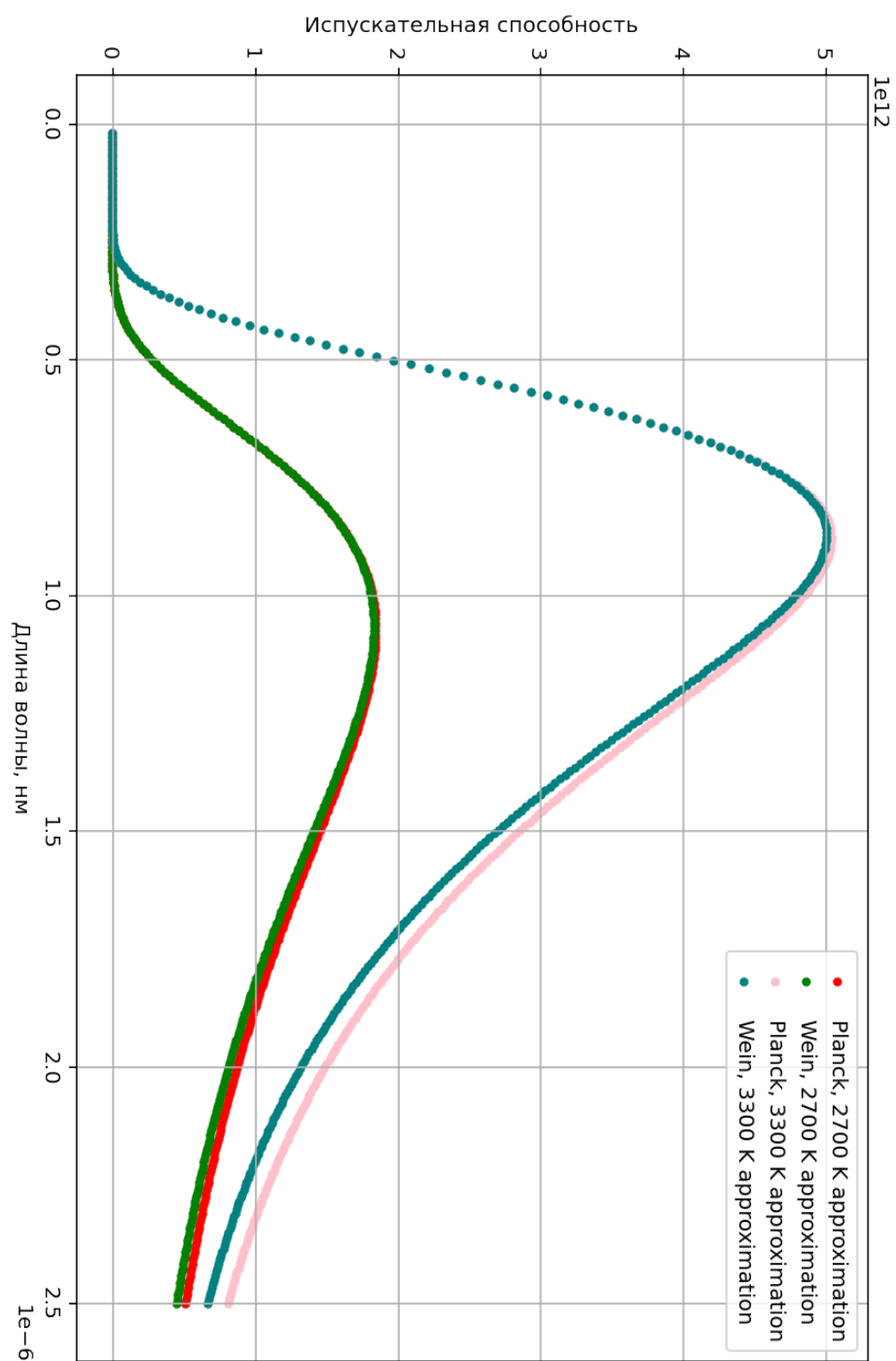


Рис. 2: Графики r_λ при температурах 2700 К и 3300 К

1.2 Относительное количество энергии

Выберем излучатель при температуре $T = 2700K$. Тогда для расчета относительной энергии, приходящейся на видимый спектр, необходимо определить долю площади под кривой зависимости испускательной способности от длины волны на выбранном спектре.

$$\frac{W_0}{W} = \frac{\int_{380nm}^{780nm} \frac{2\pi hc^2}{\lambda^5} \cdot \left(\exp\left(\frac{hc}{\lambda kT}\right) - 1 \right)^{-1} d\lambda}{\int_{20nm}^{2000nm} \frac{2\pi hc^2}{\lambda^5} \cdot \left(\exp\left(\frac{hc}{\lambda kT}\right) - 1 \right)^{-1} d\lambda}$$

Конечно, можно посчитать аналитически и взять отношение значения интегралов от известной функции для испускательной способности, но гораздо проще воспользоваться численными методами: в представленном ниже листинге приведен расчет этих интегралов.

```
1 full_linspace = np.linspace(20 * 10 ** -9, 2000 * 10 ** -9,
2                               10000)
3 visible_linspace = np.linspace(380 * 10 ** -9, 780 * 10 ** -9,
4                                 10000)
5 fstep = full_linspace[1] - full_linspace[0]
6 vstep = visible_linspace[1] - visible_linspace[0]
7 T1 = 2700
8 sum_visible = sum([eval_R_Planck(x, T1) * vstep for x in
9                     visible_linspace])
10 sum_full = sum([eval_R_Planck(x, T1) * fstep for x in
11                  full_linspace])
12 print(f'Relative energy in visible spectre: {100 * sum_visible
13         / sum_full} %')
```

Получили ответ:

```
1 >>> Relative energy in visible spectre: 12.307838947590378 %
```

Ответ: 12,3%

2 Классика в квантах

По классическим представлениям электрон должен накопить энергию для вылета с катода. Лампой мощностью 100 Вт освещается алюминиевый катод (работа выхода 4,2 эВ). Лампа находится на расстоянии 1 м от катода. Оценить время, необходимое для накопления энергии, большей работы выхода.

Начнем с тривиального: явление фотоэффекта невозможно полно объяснить с точки зрения классической теории электромагнитного излучения. Заметим, что хотя бы на преодоление первой порцией фотонов (хотя мы и не говорим о квантовании) расстояния между излучателем и катодом уйдет время $t_0 = \frac{L}{c}$, при этом предполагается, что фотоны несут энергию (опять навязывается понятие кванта) и не теряют ее на рассеивание. Оценка очень грубая, но при постоянном неупругом соударении фотонов и валентных электронов последние, накопив достаточную энергию, способны покинуть свою орбиту и вылететь из материала, создавая при этом фототок. Тогда так называемое запаздывание будет включать в себя еще и время, которое электрон копит энергию, большую работы выхода, то есть $t_{\text{вых}} = \frac{A_{\text{вых}}}{P}$.

$$t = \frac{L}{c} + \frac{A_{\text{вых}}}{P}$$

$$\text{Ответ: } t = \frac{1}{299792458} + \frac{4,2 \cdot 1,6 \cdot 10^{-19}}{100} \approx 3,3356 \text{ ns}$$

3 Potassium FUN

Potassium has one of the lowest work functions of all metals and so is useful in photoelectric devices using visible light. Light from a source is incident on a potassium surface. Data for the stopping voltage V_0 as a function of wavelength λ is shown below. (a) Explain why a graph of V_0 vs. $\frac{1}{\lambda}$ is expected to yield a straight line. What are the theoretical expectations for the slope and y-intercept of this line? (b) Using the data below, graph V_0 vs. $\frac{1}{\lambda}$ and show that a straight-line plot does indeed result. Determine the slope a and y-intercept b of this line. Using your values for a and b , determine (c) potassium's work function and (d) Planck's constant h .

λ (μm)	0.400	0.430	0.460	0.490	0.520
V_0 (V)	0.803	0.578	0.402	0.229	0.083

3.1 Пояснение теоретических аспектов зависимости

Запишем основное тождество фотоэффекта – уравнение Эйнштейна:

$$h\nu = A_{\text{вых}} + \frac{mv_m^2}{2} = A_{\text{вых}} + eU_3$$

Соответственно, выразим напряжение запираения:

$$U_3 = \frac{h\nu - A_{\text{вых}}}{e} = \frac{hc}{e\lambda} - \frac{A_{\text{вых}}}{e}$$

Линейный характер зависимости напряжения запираения от обратной длины волны во II законе Столетова можно толковать следующим образом: фотоэффект наблюдается с некоторой граничной частоты излучения. А замечание о том, что длина волны λ выражается в виде $\lambda = \frac{c}{\nu}$ говорит о существовании некоторого максимального значения длины волны (которая соответствует минимальной частоте наблюдения фотоэффекта) – это и есть красная граница.

3.2 Представление данных в формате точек на плоскости

```
1 | lambdas = [0.4, 0.43, 0.46, 0.49, 0.52]
2 | volumes = [0.803, 0.578, 0.402, 0.229, 0.083]
3 | fig3, ax3 = plt.subplots(1, 1, figsize=(9, 6))
4 | ax3.scatter([lam ** -1 for lam in lambdas], volumes, s=70)
5 | ax3.grid(axis='both')
6 | fig3.tight_layout()
```

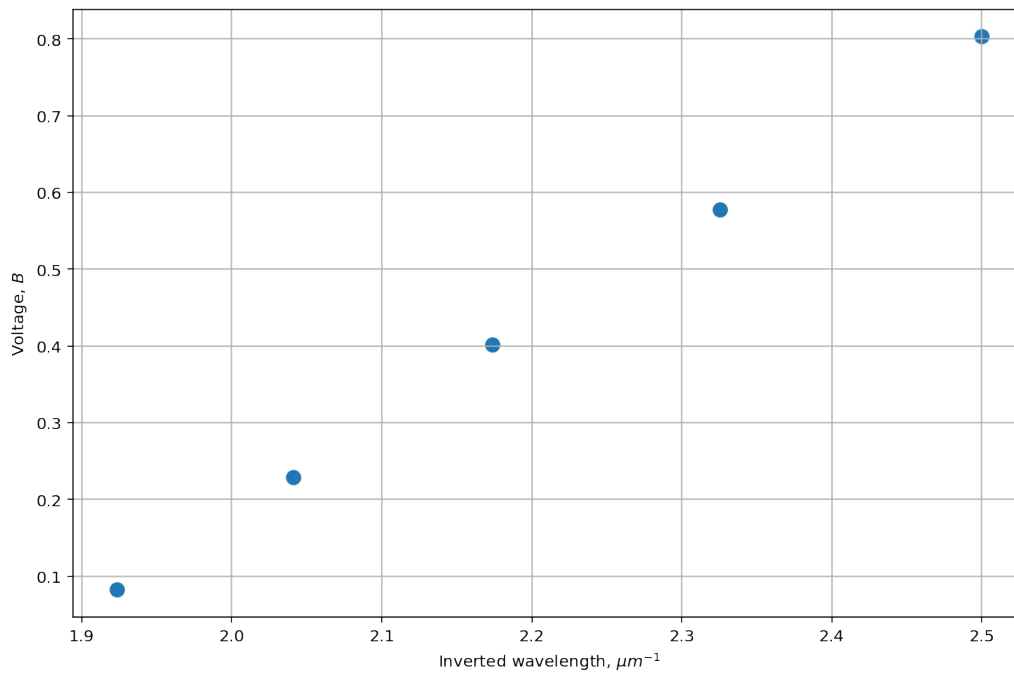


Рис. 3: Данные задачи в точечном формате

3.3 Поиск коэффициентов, линейная регрессия

Заметим, что в матричной форме:

$$X \cdot W = Y \rightarrow X^T \cdot X \cdot W = X^T \cdot Y \rightarrow W = (X^T \cdot X)^{-1} \cdot X^T \cdot Y$$

Здесь матрица X принимает вид $\left[\left[\frac{1}{\lambda_1}, 1 \right], \left[\frac{1}{\lambda_2}, 1 \right] \dots \left[\frac{1}{\lambda_n}, 1 \right] \right]$, весовая матрица $W = [a, b]$ и Y – вектор значений по запирающей разности потенциалов.

```

1 | lambdas = [0.4, 0.43, 0.46, 0.49, 0.52]
2 | voltage = [0.803, 0.578, 0.402, 0.229, 0.083]
3 |
4 | lambdas_inv = [[lam ** -1, 1] for lam in lambdas]
5 | X, Y = np.array(lambdas_inv), np.array(voltage)
6 | W = np.linalg.inv(np.dot(X.T, X)).dot(X.T).dot(Y)
7 | print(W)
8 | RMSE = sum([val ** 2 for val in X.dot(W) - Y])
9 | print(f'Root Mean Squered Error: {RMSE}')

```

И весовой вектор в итоге $W = [a, b]$:

```

1 | >>> [ 1.24347183 -2.30753275]
2 | >>> Root Mean Squered Error: 8.469118894828288e-05

```

3.4 Поиск работы выхода и постоянной Планка

Обратим внимание на выведенную ранее формулу:

$$U_3 = \frac{h\nu - A_{\text{вых}}}{e} = \frac{hc}{e\lambda} - \frac{A_{\text{вых}}}{e}$$

Очевидно, что в нашем случае весовой вектор можно записать в виде:

$$W = [a, b] = \left[\frac{hc}{e}, -\frac{A_{\text{вых}}}{e} \right]$$

Посчитаем требуемые значения **работы выхода** и **постоянной Планка**:

$$h = \frac{e}{c} \cdot a = \frac{1,6 \cdot 10^{-19}}{299792458} \cdot 1,24347183 = 6.636440893822548 \cdot 10^{-28} \mu\text{т}$$

$$A_{\text{вых}} = e \cdot b = 1,6 \cdot 10^{-19} \cdot 2,30753275 = 3,692052400468156 \cdot 10^{-19} \text{ Дж}$$

$$\text{Ответ: } h = 6.636440893822548 \cdot 10^{-34} \text{ т} \\ A_{\text{вых}} = 2,30753275 \text{ эВ}$$

ссылка на Google Colab со всеми графиками и вычислениями